

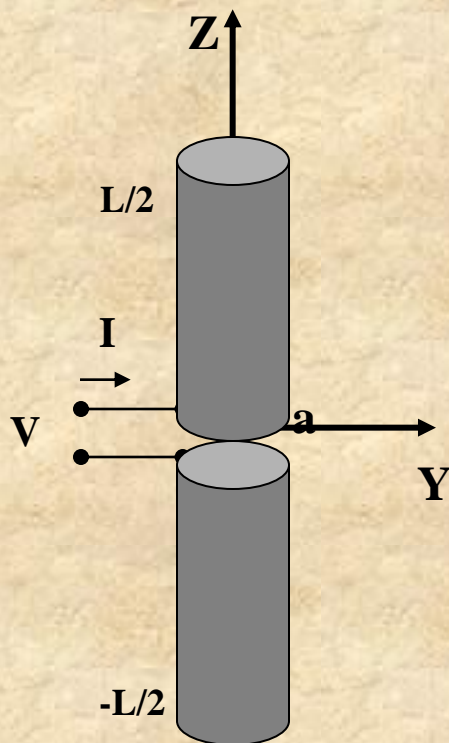
# IMPEDÂNCIA DE ENTRADA DE ANTENAS LINEARES

Odilon Maroja C. P. Filho

# Conteúdo

- 1. Geometria da Antena Linear**
- 2. Impedância de Entrada**
- 3. Equação Integral**
- 4. Expansão em Funções de Base**
- 5. Testando com Funções de Peso**
- 6. Avaliação de  $Z_{mn}$**
- 7. Impedância de Entrada**
- 8. Conclusões**

# 1. Geometria da Antena Linear



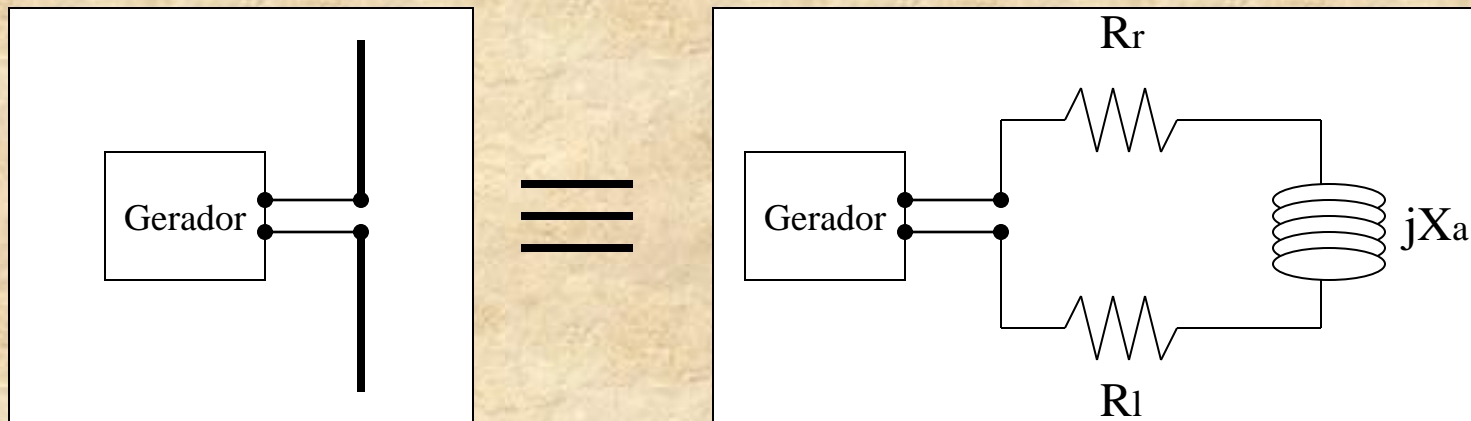
$a$ : raio da antena

$L$ : comprimento da antena

$\sigma$ : condutividade do metal

$$\sigma = \infty$$

## 2. Impedância de Entrada



**Impedância de Entrada:  $Z_i = R_i + jX_i$**

**$\left\{ \begin{array}{l} R_r: \text{Resistência de Radiação} \\ R_l: \text{Resistência de Perdas } (=0) \\ X_i: \text{Reatância da Antena} \end{array} \right.$**

## 2.1 Determinação de Ri através dos Campos Distantes

**Região de  
Fraunhofer**

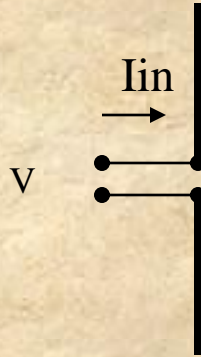
$$\left\{ \begin{array}{l} \mathbf{r} \gg 2 \frac{L^2}{\lambda} \\ \mathbf{r} \gg L \\ \mathbf{r} \gg \lambda \end{array} \right.$$

**Ondas TEM:**  $\bar{H} = \frac{1}{\eta} \hat{a}_r \times \bar{E}$

$$R_i = \frac{2P_r}{|I_{in}|^2} = \frac{1}{|I_{in}|^2} \oint_{S_\infty} (\bar{E} \times \bar{H}^*) \bullet \hat{a}_r ds$$



## 2.2 Determinação de $Z_i$ através da Corrente de Entrada

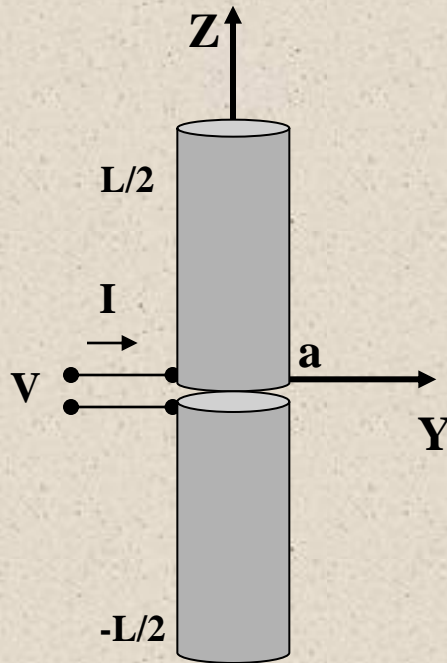


$$Z_i = R_i + jX_i = \frac{V}{I_{in}}$$

- Etapas:**
1. Assumir uma fonte de tensão  $V$
  2. Equação Integral
  3. Determinar  $I(z')$
  4. Achar  $Z_i$



### 3. Equação Integral



**Aproximações:**

**i) Fio muito fino ( $a \ll \lambda$ )**

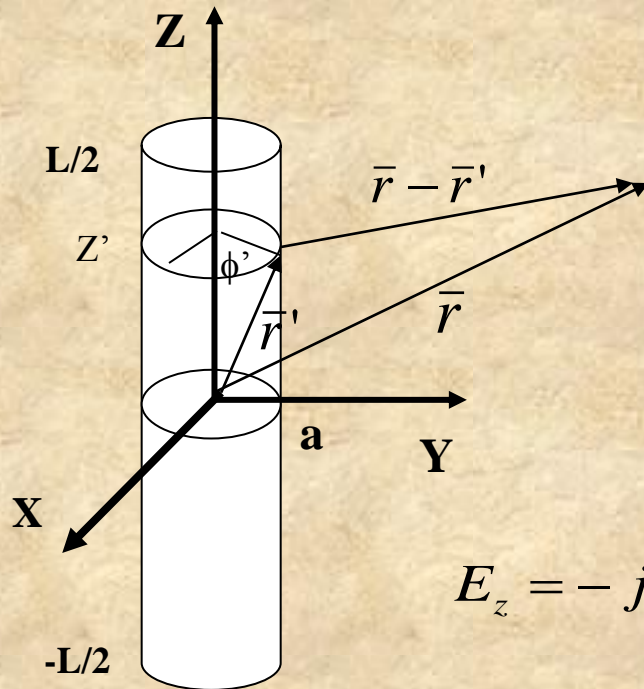
**ii) A corrente superficial tem direção z e não depende de  $\phi$**

$$\begin{aligned}\bar{J}(\phi', z') &= J_z(z') \hat{a}_z \\ I_z(z') &= 2\pi a J_z(z')\end{aligned}$$

**iii) As correntes no topo e base são desprezadas**

**iv) Fonte de Tensão ideal em  $z=0$**

- Campo Elétrico:



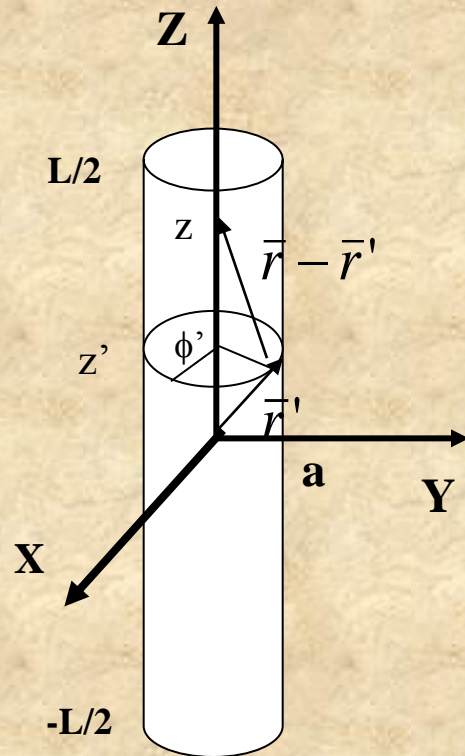
$$\vec{E} = -j\omega\vec{A} + \frac{1}{j\omega\epsilon\mu}\nabla(\nabla\bullet\vec{A})$$

$$A_z(\vec{r}) = \frac{\mu}{4\pi} \iiint_{S'} J_z(z') \frac{e^{jk|\vec{r}-\vec{r}'|}}{|\vec{r}-\vec{r}'|} ds'$$

$$E_z = -j\omega A_z + \frac{1}{j\omega\epsilon\mu} \frac{\partial^2 A_z}{\partial z^2} = \frac{1}{j\omega\epsilon\mu} \left( k^2 + \frac{\partial^2}{\partial z^2} \right) A_z$$



- Potencial Vetor no eixo da antena:



$$\begin{cases} \bar{r} = z \hat{a}_z \\ \bar{r}' = a \cos(\phi') \hat{a}_x + a \sin(\phi') \hat{a}_y + z' \hat{a}_z \end{cases}$$

$$|z - z'| \quad | \bar{r} - \bar{r}' | \quad | \bar{r} - \bar{r}' | = \sqrt{(z - z')^2 + a^2}$$

$$A_z(z \hat{a}_z) = \frac{\mu}{4\pi} \int_0^{2\pi} \int_{-L/2}^{L/2} J_z(z') \frac{e^{-jk\sqrt{(z-z')^2 + a^2}}}{\sqrt{(z-z')^2 + a^2}} a d\phi' dz'$$

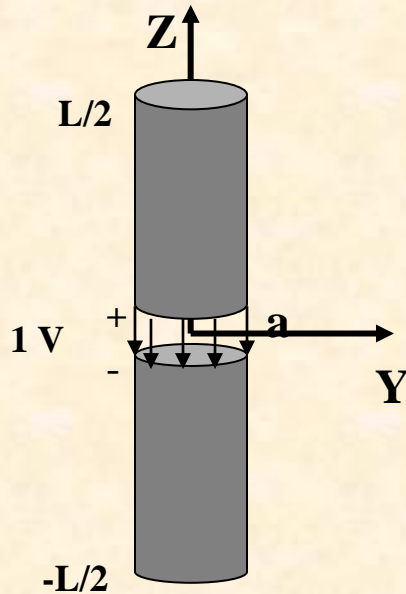
**Da simetria cilíndrica da distribuição de corrente:**

$$A_z(z \hat{a}_z) = \frac{\mu}{4\pi} \int_{-l/2}^{l/2} I_z(z') \frac{e^{-jk\sqrt{(z-z')^2 + a^2}}}{\sqrt{(z-z')^2 + a^2}} dz'$$

• **Campo Elétrico no eixo da antena:**

$$E_z(z \hat{a}_z) = \frac{1}{j\omega\epsilon} \left( k^2 + \frac{\partial^2}{\partial z^2} \right) \int_{-l/2}^{l/2} I_z(z') \frac{e^{-jk\sqrt{(z-z')^2 + a^2}}}{4\pi\sqrt{(z-z')^2 + a^2}} dz'$$

- **Excitação**



- **Voltage-gap generator**

$$E_z(z \hat{a}_z) = -\delta(z)$$

$$V = - \int_{0^-}^{0^+} \bar{E} \cdot d\bar{l} = 1$$

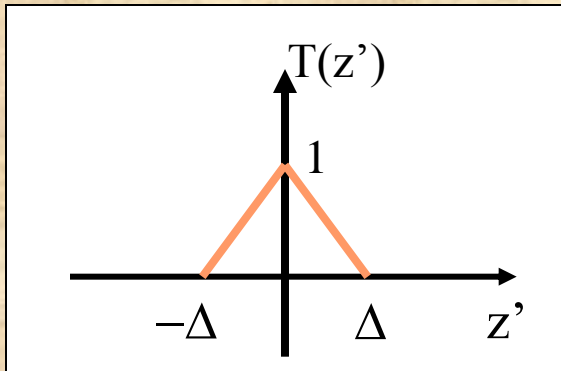
$$\left( k^2 + \frac{\partial^2}{\partial z^2} \right) \int_{-l/2}^{l/2} I_z(z') \frac{e^{-jk\sqrt{(z-z')^2 + a^2}}}{4\pi\sqrt{(z-z')^2 + a^2}} dz' = -j\omega\epsilon \delta(z)$$



**Equação Integral**

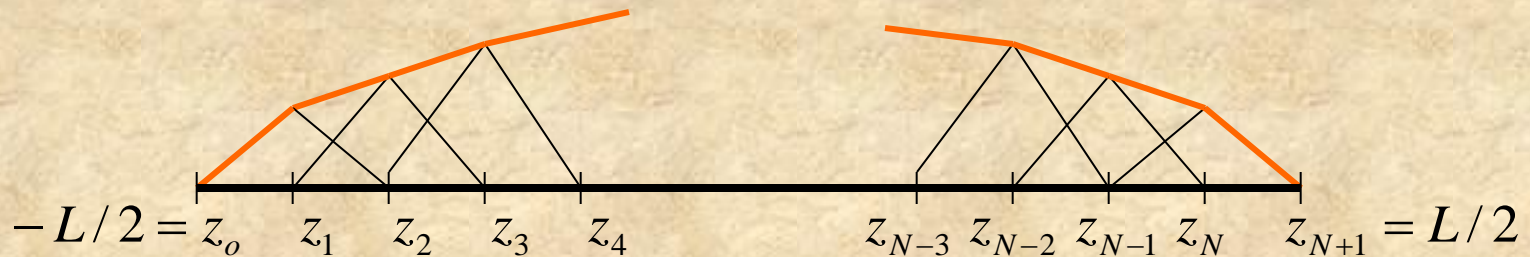
## 4. Expansão em Funções de Base

$$I_z(z') \approx \sum_{n=1}^N I_n U_n(z') = \sum_{n=1}^N I_n T(z' - z_n)$$



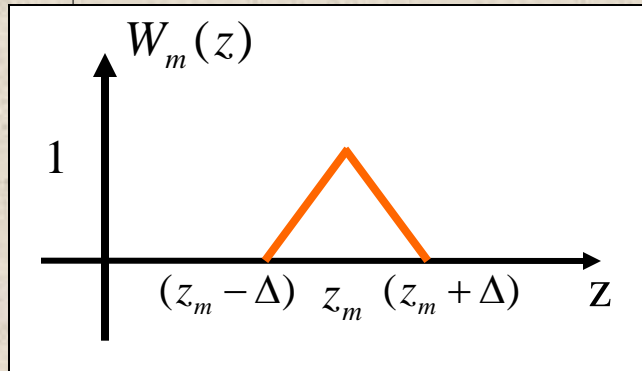
$$z_n = -L/2 + n\Delta \quad \Delta = \frac{L}{N+1}$$

$$T(z') = 1 - |z'|/\Delta \quad |z'| \leq \Delta$$



$$\sum_{n=1}^N I_n \left( k^2 + \frac{\partial^2}{\partial z^2} \right) \int_{-l/2}^{l/2} U_n(z') \frac{e^{-jk\sqrt{(z-z')^2 + a^2}}}{4\pi\sqrt{(z-z')^2 + a^2}} dz' = -j\omega\epsilon \delta(z)$$

## 5. Testando com Funções de Peso



$$W_m(z) = T(z - z_m)$$

$$\begin{aligned} \sum_{n=1}^N I_n \int_{-l/2}^{l/2} W_m(z) \left( k^2 + \frac{\partial^2}{\partial z^2} \right) \int_{-l/2}^{l/2} U_n(z') \frac{e^{-jk\sqrt{(z-z')^2 + a^2}}}{4\pi\sqrt{(z-z')^2 + a^2}} dz' dz = \\ = -j\omega\epsilon \int_{-l/2}^{l/2} W_m(z) \delta(z) dz \quad m = 1, \dots, N \end{aligned}$$

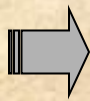
- Organizando em forma matricial:

$$[Z][I] = [V]$$

$$Z_{mn} = \int_{-l/2}^{l/2} W_m(z) \left( k^2 + \frac{\partial^2}{\partial z^2} \right) \int_{-l/2}^{l/2} U_n(z') \frac{e^{-jk\sqrt{(z-z')^2 + a^2}}}{4\pi\sqrt{(z-z')^2 + a^2}} dz' dz$$

$$[I]_n = I_n$$

$$V_m = -j\omega\epsilon \int_{-l/2}^{l/2} W_m(z) \delta(z) dz = -j\omega\epsilon W_m(0)$$



Equação Integral foi transformada num sistema linear de equações



## 6. Avaliação de $Z_{mn}$

$$Z_{mn} = k^2 \int_{-l/2}^{l/2} W_m(z) \int_{-l/2}^{l/2} U_n(z') G(z - z') dz' dz +$$

$$+ \int_{-l/2}^{l/2} W_m(z) \frac{\partial}{\partial z} \int_{-l/2}^{l/2} U_n(z') \left( -\frac{\partial}{\partial z'} \right) G(z - z') dz' dz$$

Onde:

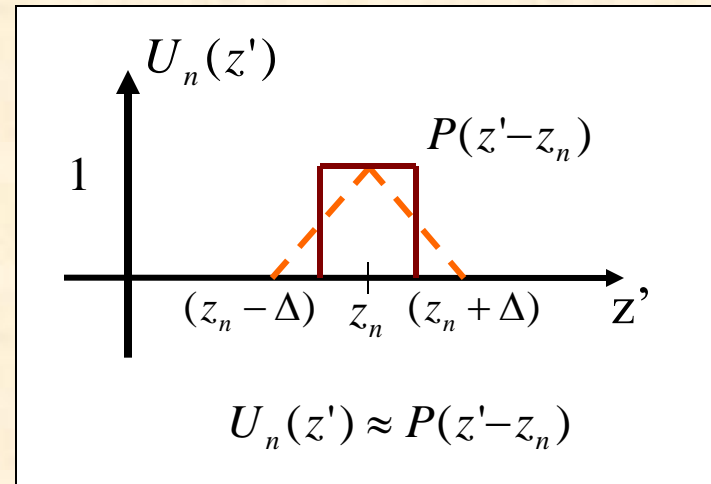
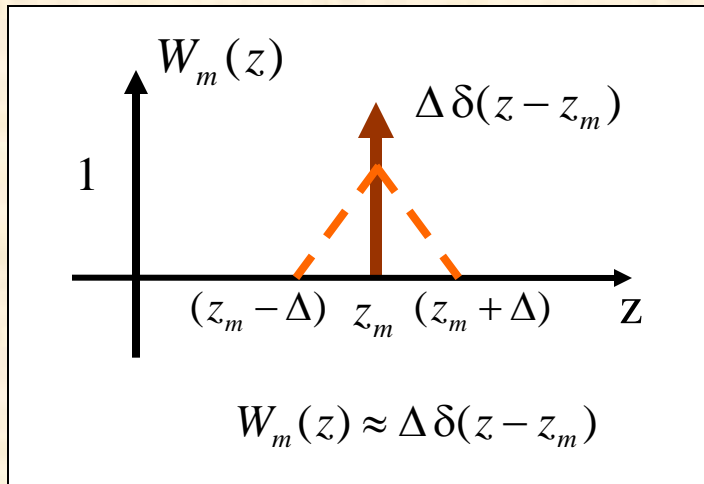
$$G(z - z') = \frac{e^{-jk\sqrt{(z-z')^2 + a^2}}}{4\pi\sqrt{(z-z')^2 + a^2}}$$

$$Z_{mn} = k^2 \int_{-l/2}^{l/2} W_m(z) \int_{-l/2}^{l/2} U_n(z') G(z - z') dz' dz +$$

$$- \int_{-l/2}^{l/2} \frac{\partial W_m(z)}{\partial z} \int_{-l/2}^{l/2} \frac{\partial U_n(z')}{\partial z'} G(z - z') dz' dz =$$

$$= k^2 A_{mn} - \Phi_{mn}$$

- Aproximações:

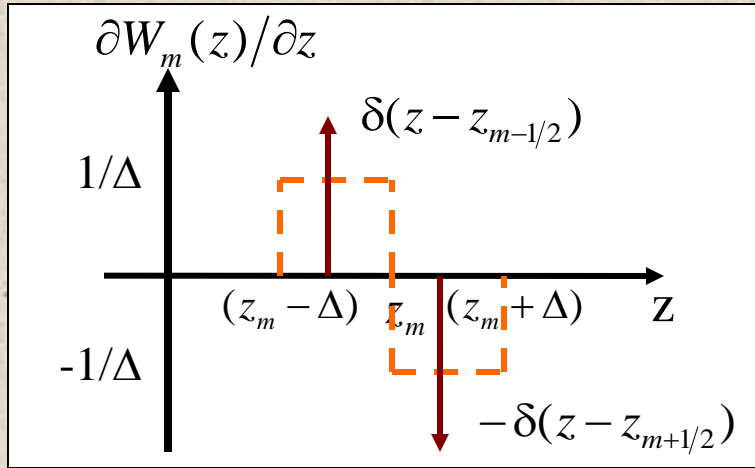


$$A_{mn} = \int_{-l/2}^{l/2} W_m(z) \int_{-l/2}^{l/2} U_n(z') G(z - z') dz' dz =$$

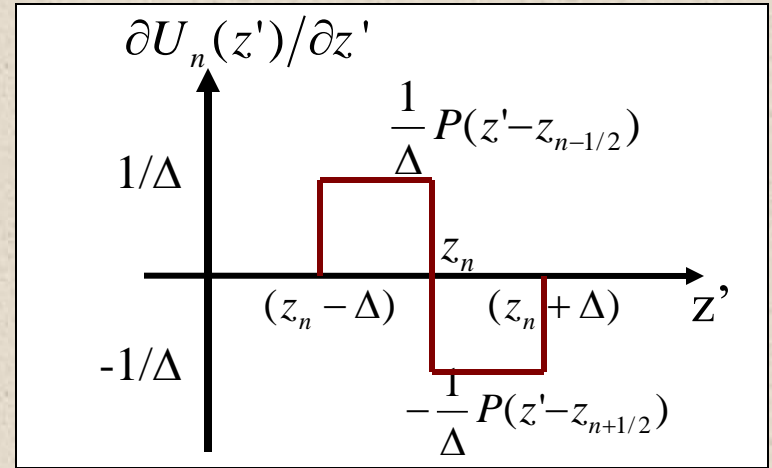
$$\approx \Delta \int_{z_{n-1/2}}^{z_{n+1/2}} G(z_m - z') dz' = \Delta^2 \Psi(m, n)$$

onde:

$$\Psi(m, n) = \frac{1}{\Delta} \int_{z_{n-1/2}}^{z_{n+1/2}} G(z_m - z') dz' = \frac{1}{\Delta} \int_{z_{n-1/2}}^{z_{n+1/2}} \frac{e^{-jk\sqrt{(z_m - z')^2 + a^2}}}{4\pi\sqrt{(z_m - z')^2 + a^2}} dz'$$



$$\frac{\partial W_m(z)}{\partial z} \approx \delta(z - z_{m-1/2}) - \delta(z - z_{m+1/2})$$



$$\frac{\partial U_n(z')}{\partial z'} = \frac{1}{\Delta} [P(z' - z_{n-1/2}) - P(z' - z_{n+1/2})]$$

$$\begin{aligned} \Phi_{mn} &= \int_{-l/2}^{l/2} \frac{\partial W_m(z)}{\partial z} \int_{-l/2}^{l/2} \frac{\partial U_n(z')}{\partial z'} G(z - z') dz' dz = \\ &\approx \int_{-l/2}^{l/2} [\delta(z - z_{m-1/2}) - \delta(z - z_{m+1/2})] \int_{-l/2}^{l/2} \frac{1}{\Delta} [P(z' - z_{n-1/2}) - P(z' - z_{n+1/2})] G(z - z') dz' dz \end{aligned}$$

$$\Phi_{mn} \approx \Psi(m-1/2, n-1/2) - \Psi(m-1/2, n+1/2) - \Psi(m+1/2, n-1/2) + \Psi(m+1/2, n+1/2)$$

- Aproximação para  $\Psi(m,n)$

i) Se  $m=n$

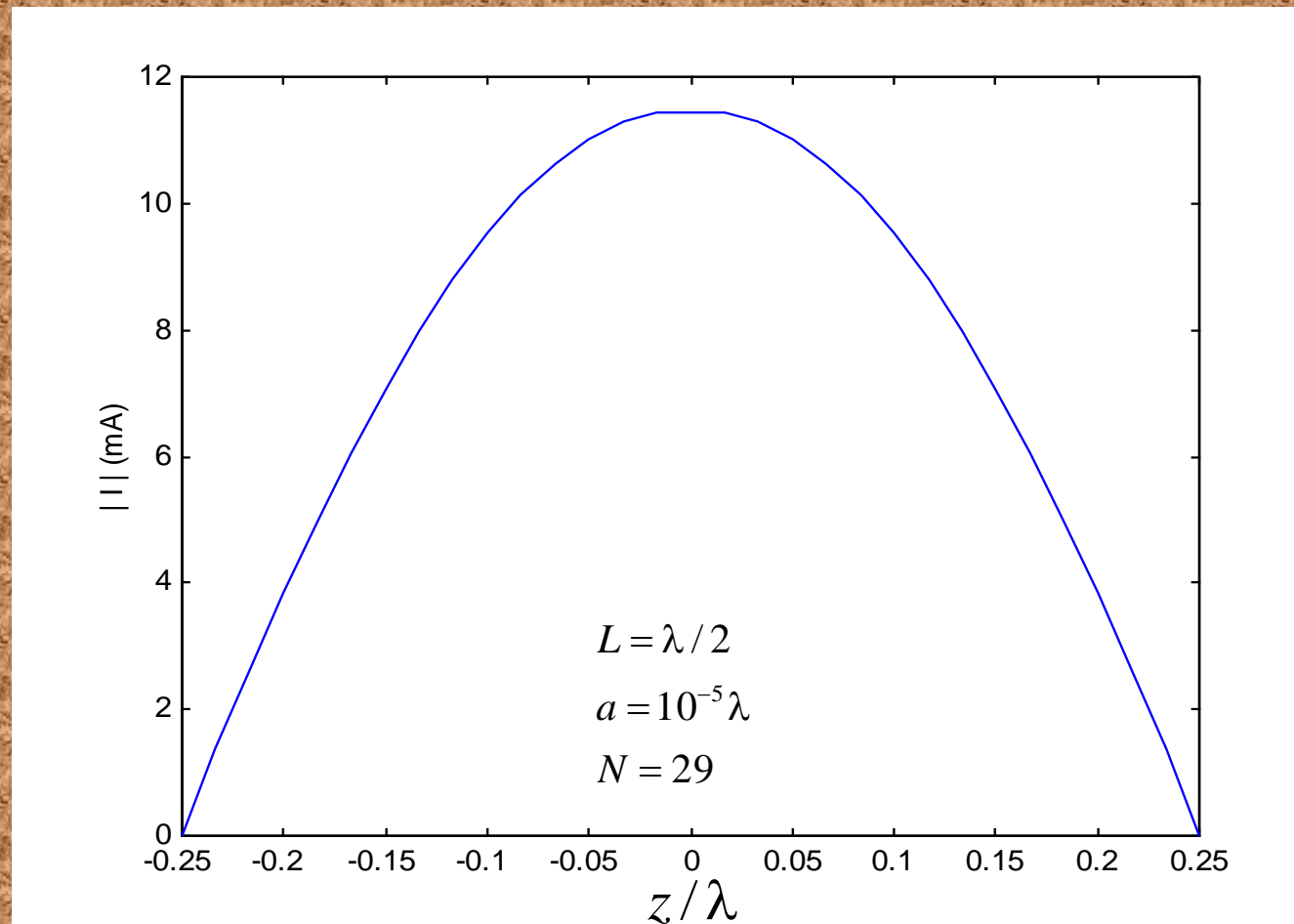
$$e^{-jk\sqrt{(z_m-z')^2+a^2}} \approx 1 - jk\sqrt{(z_m-z')^2+a^2}$$

$$\Psi(m,n) \approx \frac{1}{\Delta} \int_{z_{n-1/2}}^{z_{n+1/2}} \frac{1 - jk\sqrt{(z_m-z')^2+a^2}}{4\pi\sqrt{(z_m-z')^2+a^2}} dz' \approx \frac{1}{2\pi\Delta} \ln(\Delta/a) - \frac{jk}{4\pi}$$

ii) Se  $m \neq n$

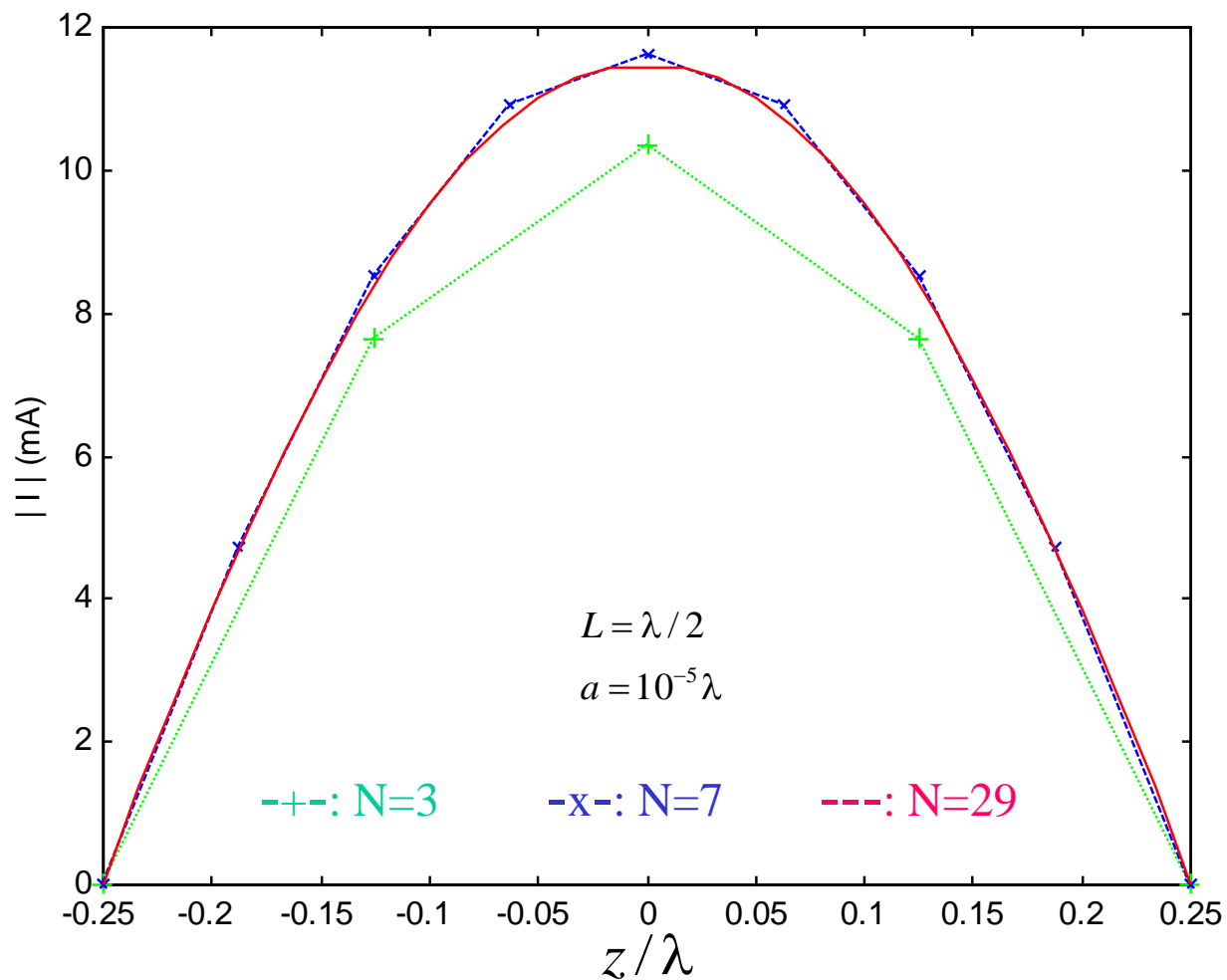
$$\Psi(m,n) \approx \frac{e^{-jk\sqrt{(z_m-z_n)^2+a^2}}}{4\pi\sqrt{(z_m-z_n)^2+a^2}}$$

## 7. Impedância de Entrada



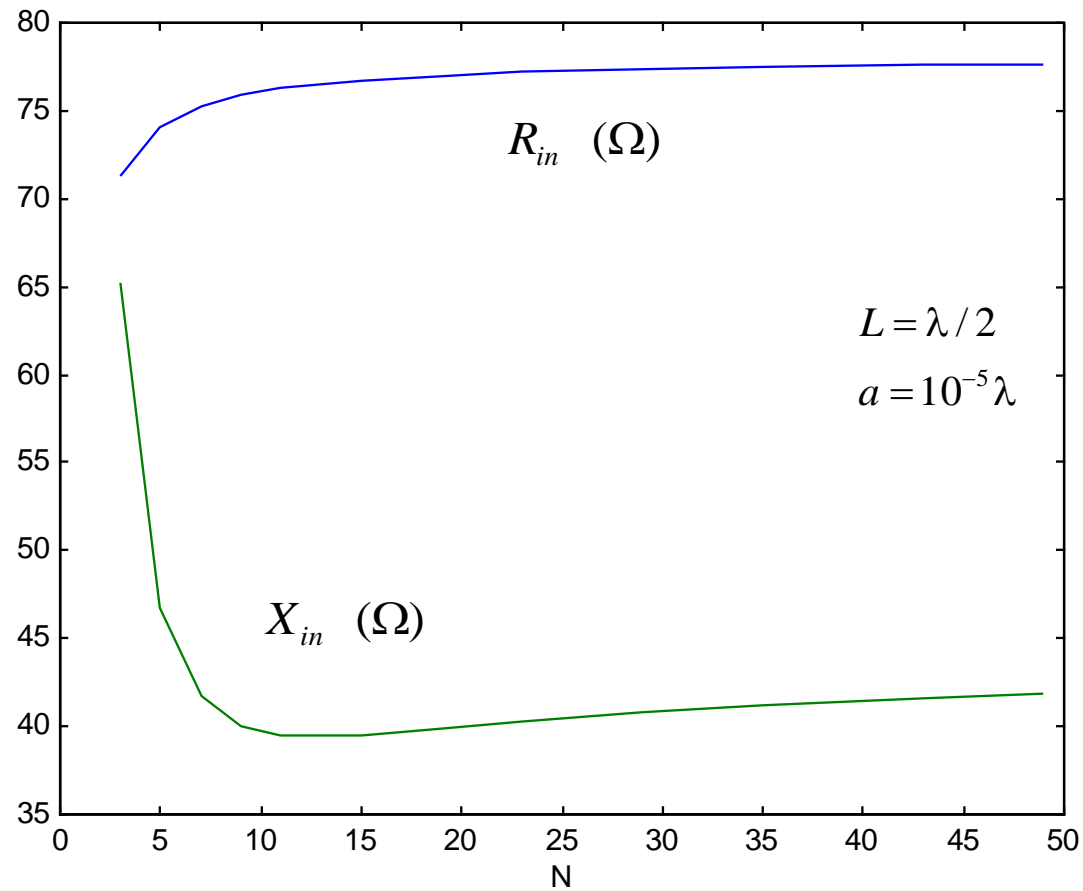
$$Z_{in} = \frac{1}{I_{in}} = 77.36 + j40.76 \quad (\Omega)$$

- Convergência da Distribuição de Corrente

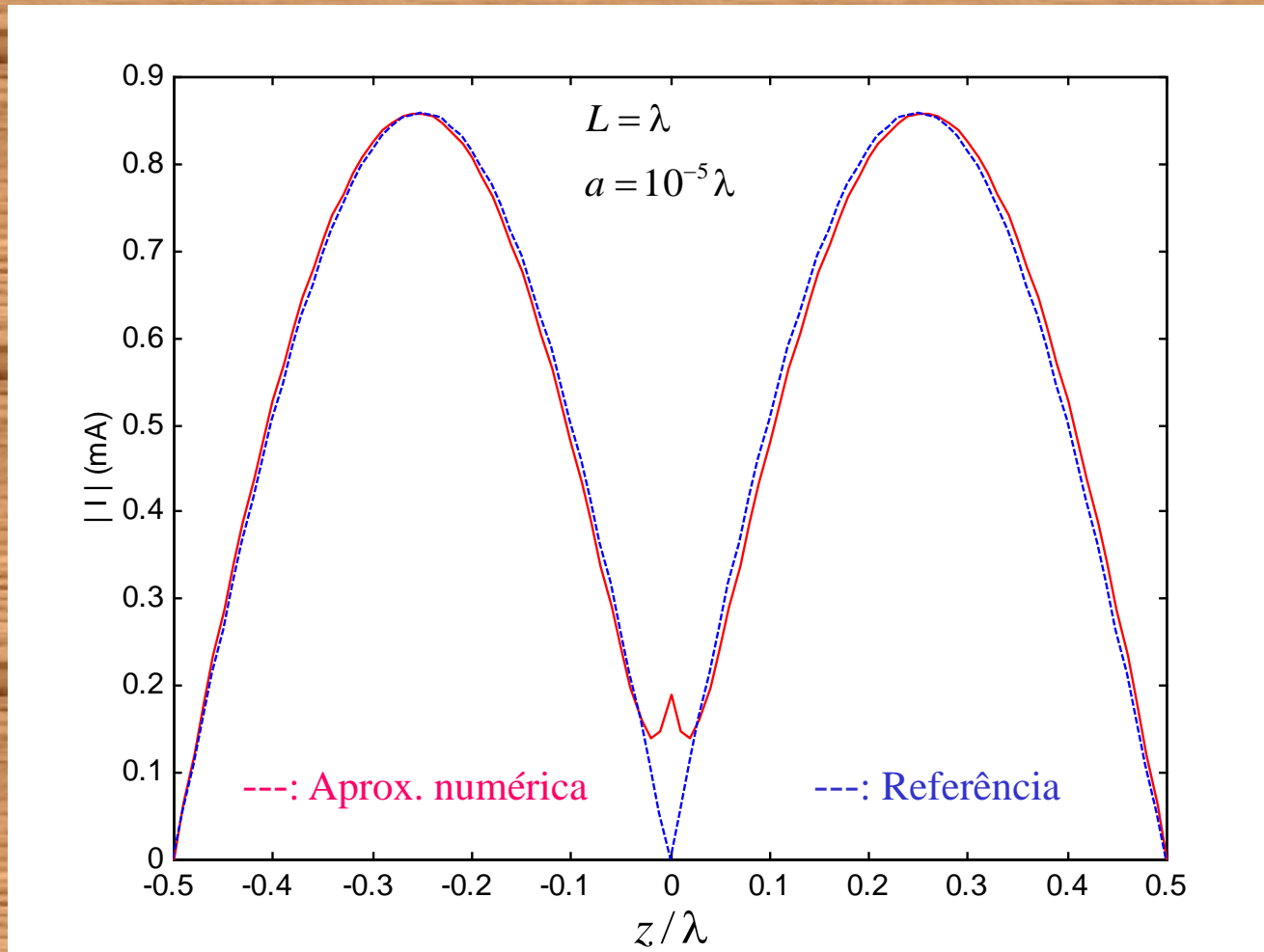




- Convergência da Impedância de Entrada



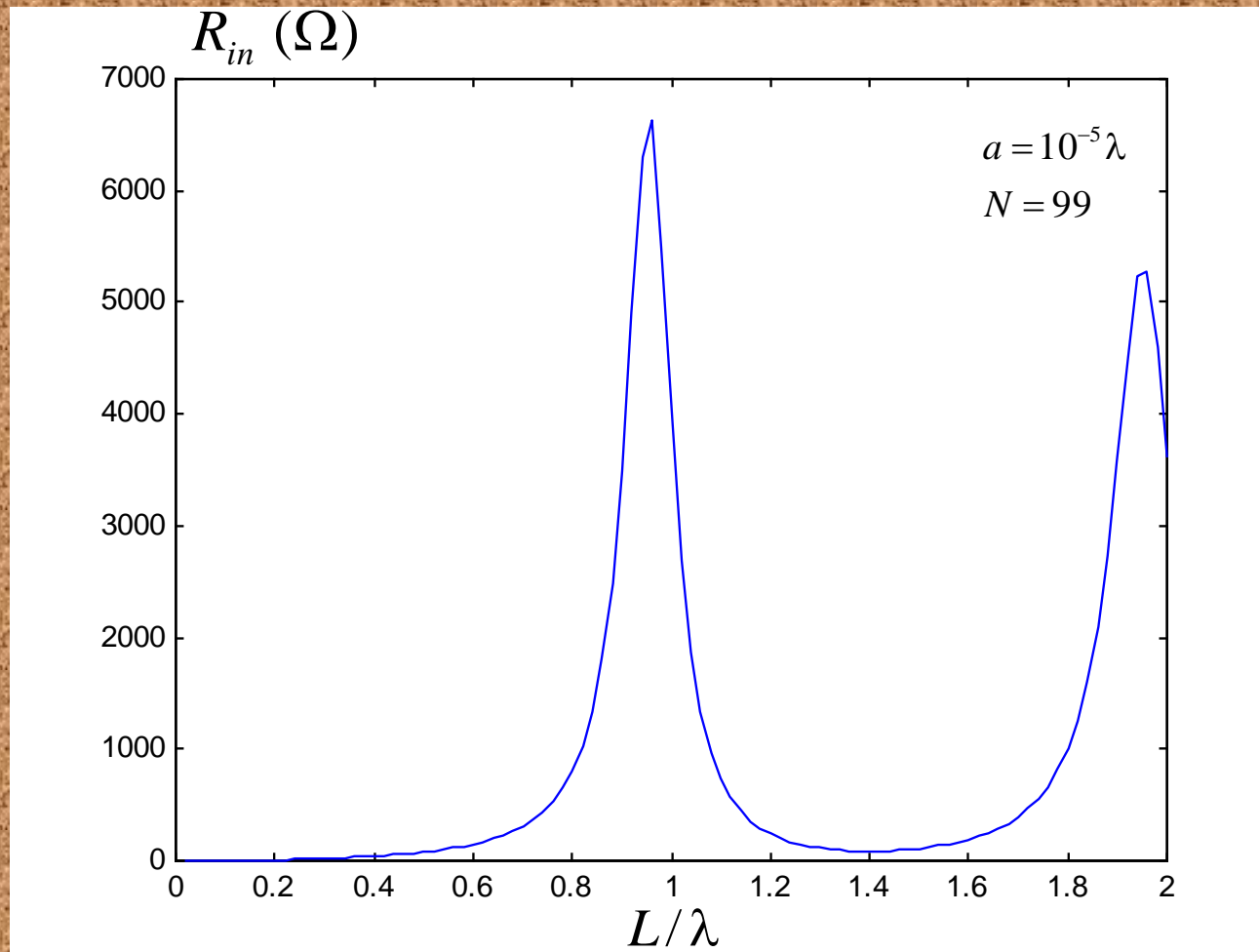
- Distribuição de Corrente para antena de 1 comprimento de onda



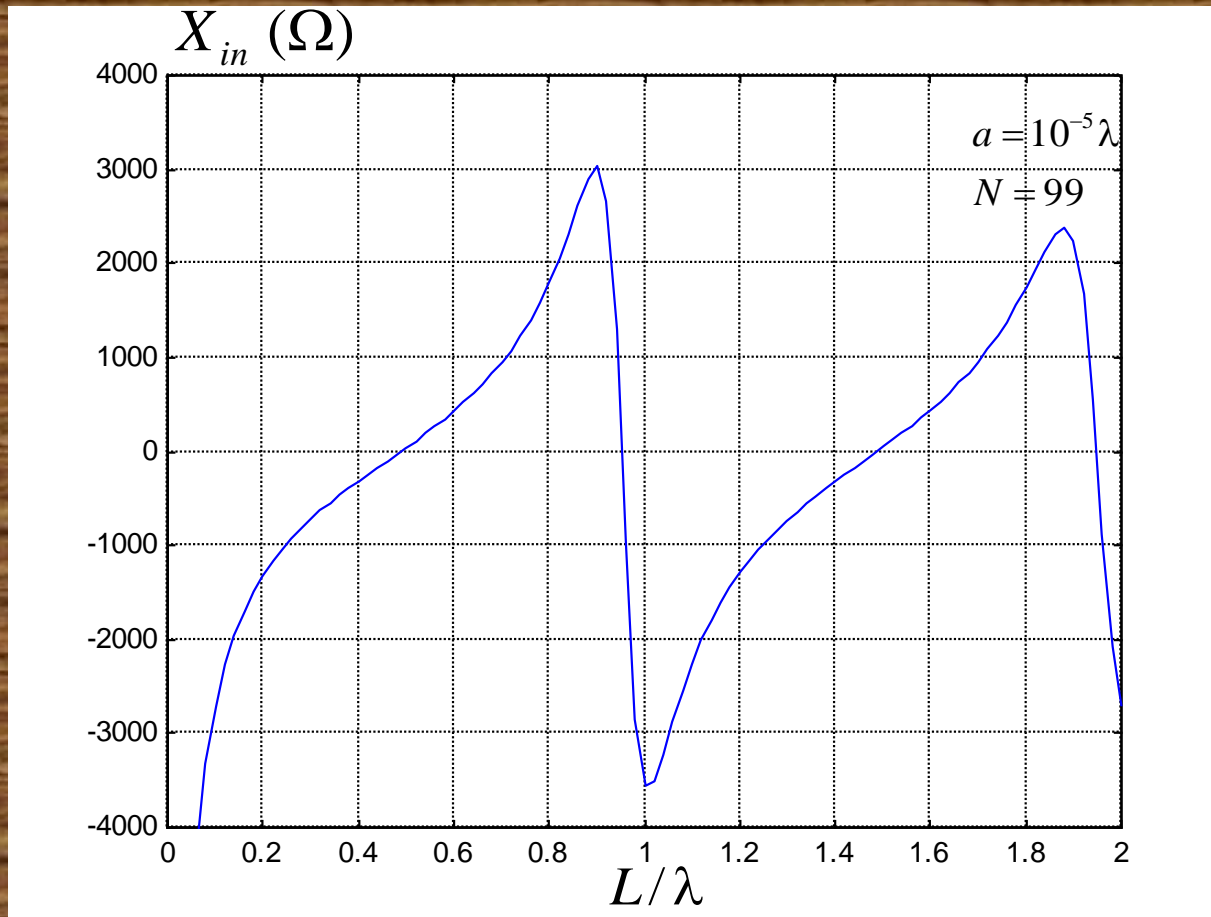
**Referência:**

$$I(z) = I_o \text{sinc}\left(\frac{L}{2} - |z|\right)$$

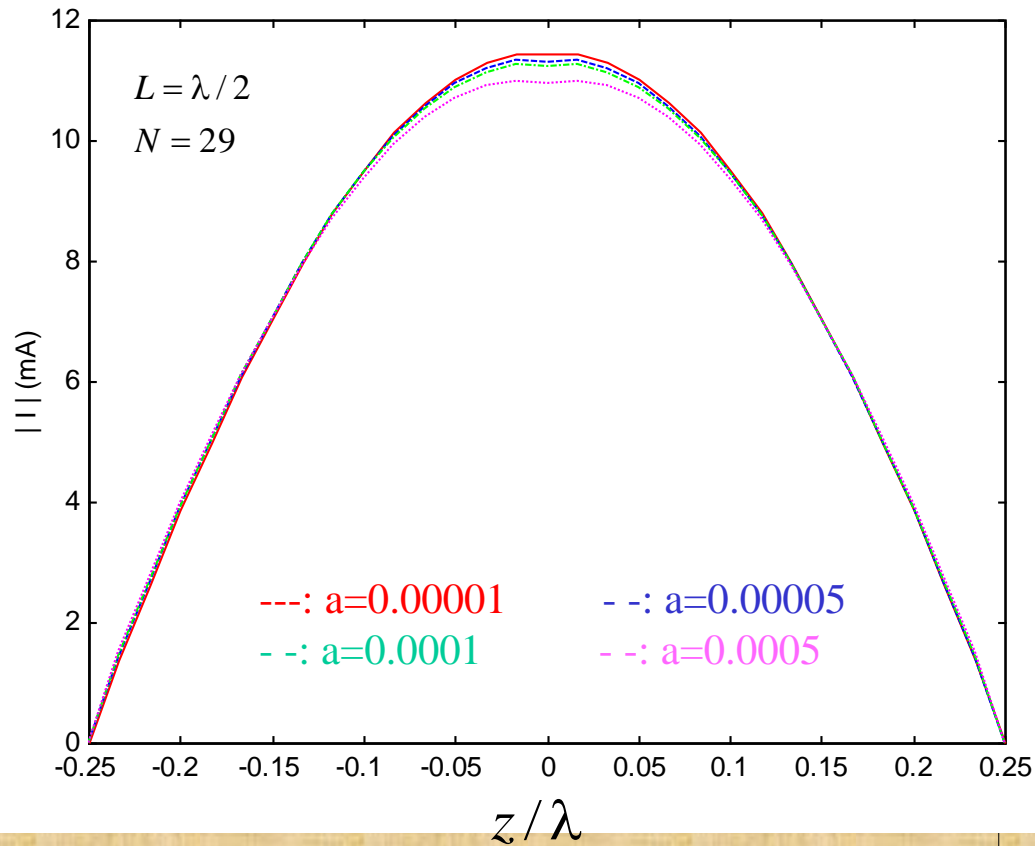
- Resistência de Entrada em função do comprimento  $L$



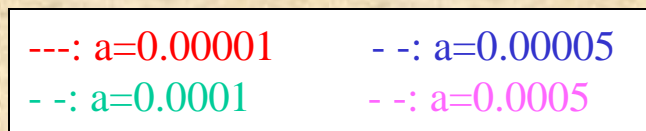
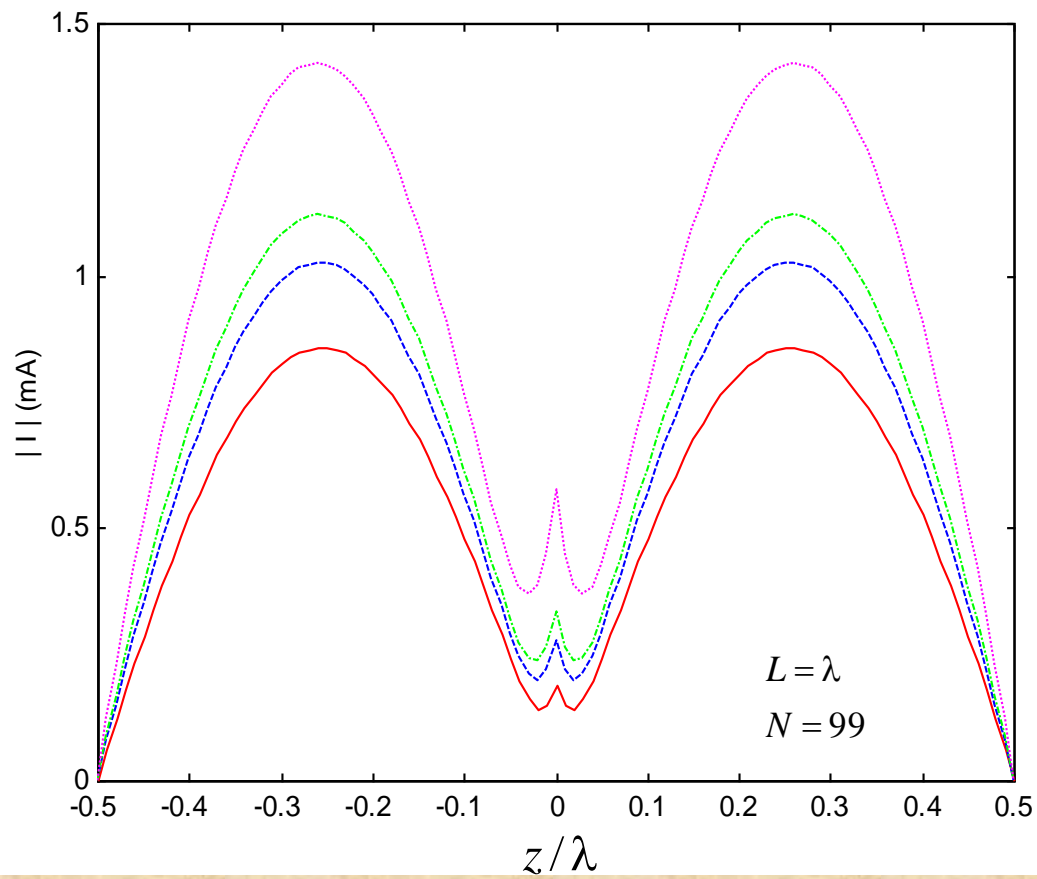
- Reatância de Entrada em função do comprimento L



- Variação com o raio da antena



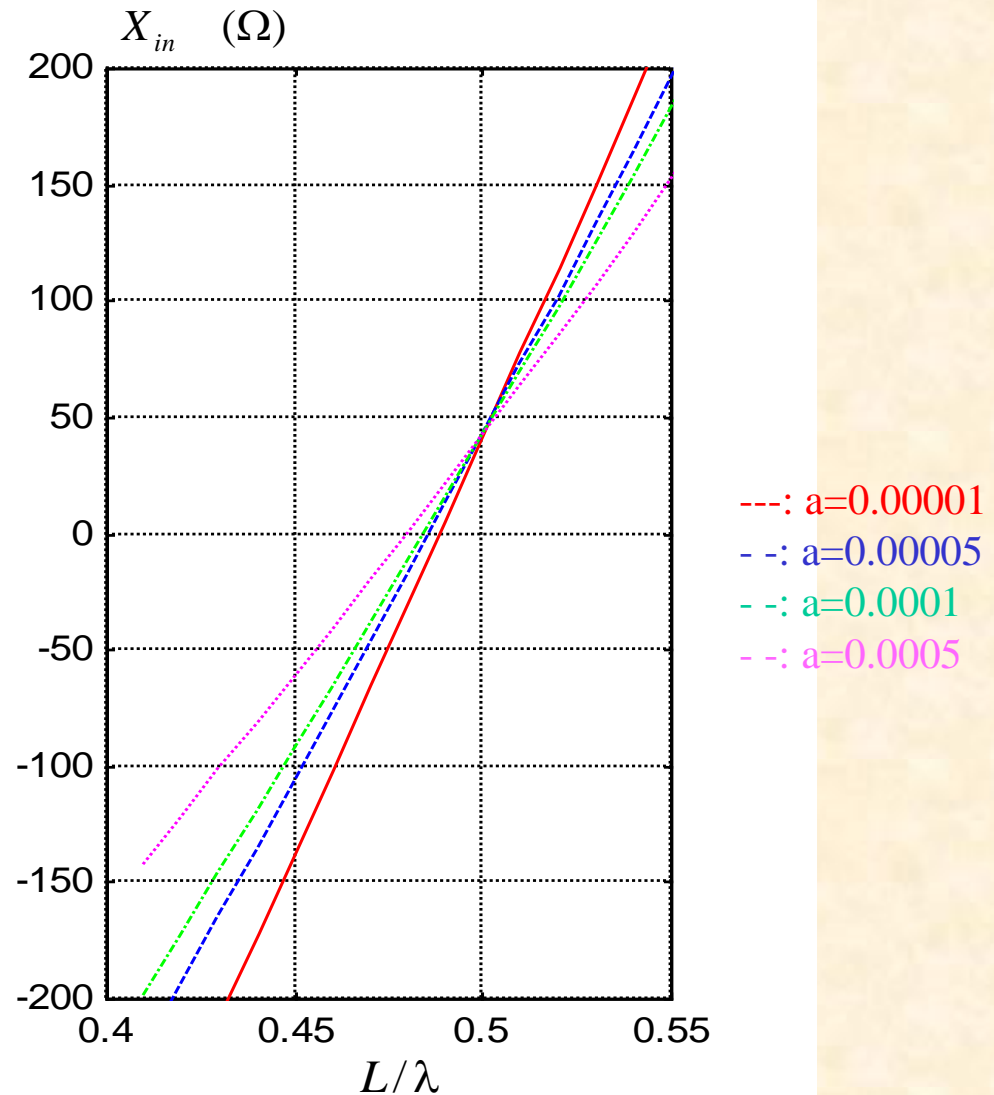
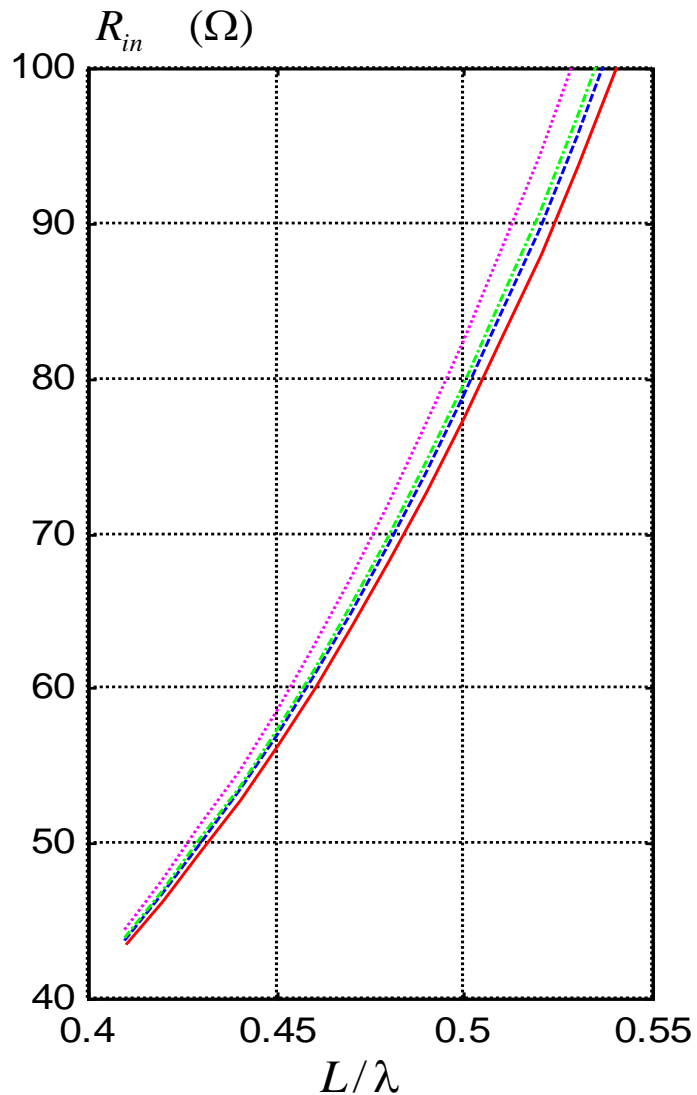
$a/\lambda$	$R_{in} (\Omega)$	$X_{in} (\Omega)$
$10^{-5}$	77.36	40.76
$5 \cdot 10^{-5}$	78.50	40.73
$10^{-4}$	79.20	40.73
$5 \cdot 10^{-4}$	81.82	40.75



$a/\lambda$	$R_{in} (\Omega)$	$X_{in} (\Omega)$
$10^{-5}$	3923	- 3553
$5 \cdot 10^{-5}$	2576	- 2523
$10^{-4}$	2079	- 2130
$5 \cdot 10^{-4}$	1115	-1330



## • Variação do Comprimento de Ressonância com o raio



## 8. Conclusões

- i) Modelamento de Correntes em Antenas Lineares utilizando o Método dos Momentos.
- ii) Cálculo da Impedância de Entrada.
- iii) Dependência com o comprimento e raio.
- iv) Comparações com referências analíticas.